

開水路流れにおける乱れの時空間構造について
—相関およびスペクトル解析による実験的検討—

京都大学防災研究所 正員 今本 博健
京都大学大学院 学生員 戎野 富夫
京都大学大学院 学類〇佐々木 健

著者らは従来より、開水路2次元流れにおける乱れの時空間構造について、フィルタ操作を用いた相関解析によつてスケール成分ごとの乱れ特性について実験的検討を加えてきたが¹⁾²⁾⁴⁾、本報告においてはスペクトル解析による検討をも加えて、従来の相関解析による結果との比較を行なう。スペクトル解析に用いた実験ケースは、開水路流れを規定する要素としてReynolds数Re、Froude数Frおよび相対粗度高さを選び出し、任意の1量が独立に変化されるように流量、路床勾配および粗度高が適当に調節されている。

1. 相関解析およびスペクトル解析

乱流場内において流れ方向に x だけ離れた2点 x_0 および x_0+x における乱れ速度 u に関する時空間相関係数 $R(x; t)$ はつきのように定義される。

$$R(x; t) = \frac{u(x_0; t)u(x_0+x; t+t)}{u'(x_0)u'(x_0+x)} \quad (1)$$

ここに、 t は遅れ時間である。一般に、 $R(x; t)$ は2点間の距離に応じたある遅れ時間 t_0 において1より小さな最大値 $R(x; t_0)$ を示すが、 t_0 は最適遅れ時間あるいは位相差といわれ、また、 $R(x) = R(x; t_0)$ は最適相関係数といわれる。

一方、(1)式のFourier変換により相互スペクトル $S(x; f)$ がつきのように定義される。

$$S(x; f) = 2 \int_{-\infty}^{\infty} R(x; t) \exp(-i2\pi f t) dt \quad (2)$$

ここに、 f は周波数を表わす。

$S(x; f)$ は実数部 $P(x; f)$ と虚数部 $Q(x; f)$ とに分けられ、これらよりコヒーレンス $C^2(x; f)$ および位相差 $\phi(x; f)$ がそれぞれつぎのように定義される。

$$C^2(x; f) = \frac{P^2(x; f) + Q^2(x; f)}{S(x; f) \cdot S_2(f)} \quad (3)$$

$$\phi(x; f) = \tan^{-1} \frac{Q(x; f)}{P(x; f)} \quad (4)$$

ここに、 $S_1(f)$ および $S_2(f)$ は x_0 および x_0+x における自己スペクトルを表わす。

ところで、対象とする変動速度として u の特定周波数成分 u_f のみが抽出されたものを対象とすると、相関解析によつて

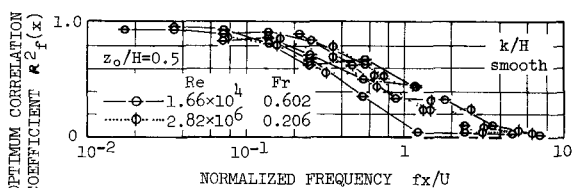


図-1 最適相関係数

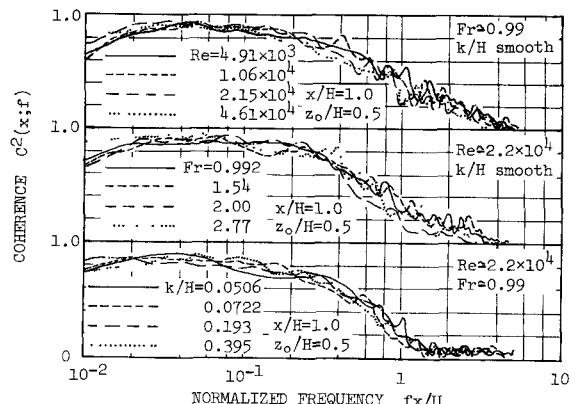


図-2 コヒーレンス

も周波数成分ごとの相關係数を算ることが可能である²⁾。この場合の $R^2(x)$ は $C(x; t)$ に、 τ_{03} は $\phi(x; t)$ に一致する。

2. 最適相關係数とコヒーレンス

図-1 および図-2 は $R^2(x)$ および $C^2(x; t)$ の計測値を示したものであり、両者とも z/H の小さな領域で 1 に近い値を示すが、 z/H が 0.25 付近より大きな領域では急激に減衰して 0 に近づいており、流下に伴う流れの変形は流下距離が波長の 0.25 倍程度以上となると著しくなることが知られる。 $R^2(x)$ あるいは $C^2(x; t)$ と z/H との関係は互いに類似した特性を示し、相關解析とスペクトル解析との一致性がうかがえる。また、図-2 は Re , Fr および k/H の各々を独立に変化させた場合について示してあるが、いずれについても $C(x; t)$ には顕著な差異が認められず、 $C^2(x; t)$ の概略は z/H のみによって表わされるものと考えられる。

3. 位相差

以上と同様の手法を横方向および鉛直方向に離れた場合に適用し、それぞれの方向の位相差の計測結果を図-3 に示す。この図から、流れ方向の位相差はすとほぼ比例関係にあるのに対し、横方向のものは 0 のまわりにちらばっており、また鉛直方向についてはすの增加に伴なって増加する傾向が知れる。

いま、 $\phi(x; t)$ より移流速度 $U_c = 2\pi f x / \phi(x; t)$ を算定し、局所的平均速度 U_f との比を示すと図-4 のようになり、 U_c/U_f は t にかかわらずほぼ 1 に等しいとみなせることが知れる。同様のこととは、すでに著者らによっても確かめられている²⁾。

$(\tau_{03})_x$ に関する著者らは次元解析によく実験式、

$$(\tau_{03})_x = C(H/U_f)^{1/2} \cdot (z/H)^{1/2} \cdot f^{-1/3} \quad (5)$$

を提案しているが、 x の係数 C は 0.3~0.6 程度と推定されている¹⁾。

本実験でのスペクトル解析による $\phi(x; t)$ の計測値を示すと図-5 のようになり(5)の妥当性が確かめられ、 C についても上記の値がほぼ適用されることが知れる。

参考文献

1) 今本・浅野・佐々木; 土木学会関西支部昭和11年度年次講演概要, II-9, 昭+1. 5.

2) 今本・上野・浅野; 京都大学防災研究所年報, 16B, pp.505~519, 昭+8. 4.

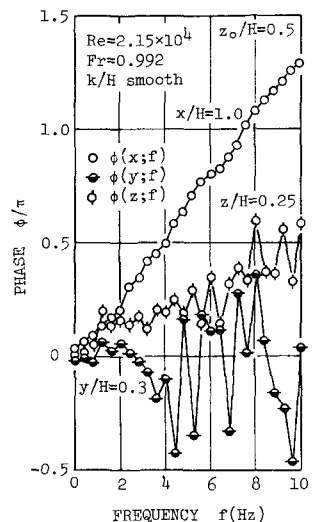


図-3 位相差

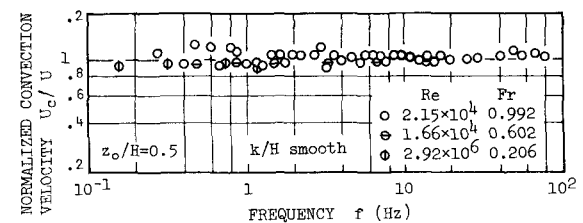


図-4 移流速度

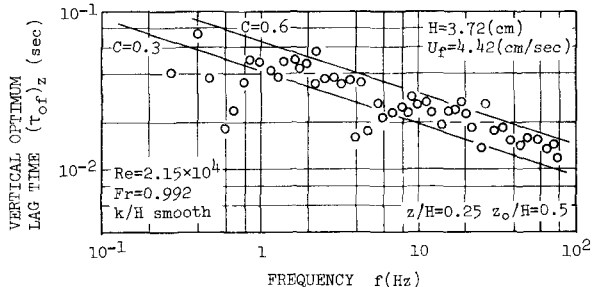


図-5 鉛直方向位相差